

# مطالعات ژئوشیمیایی و فلززایی توده گرانیتوییدی سرخکوه (مجموعه آتشفشانی - نفوذی خاور ایران) و ارتباط آن با کانی‌سازی مس - طلا - آهن

بهزاد مهرابی<sup>۱</sup>، ابراهیم طالع فاضل<sup>(۲و)\*</sup> و مجید قاسمی سیانی<sup>۲</sup>

۱. دانشیار گروه زمین‌شناسی، دانشگاه خوارزمی، تهران

۲. دانشجوی دکتری زمین‌شناسی اقتصادی، دانشگاه خوارزمی، تهران

تاریخ دریافت: ۸۹/۹/۱۷

تاریخ پذیرش: ۹۰/۵/۱۷

## چکیده

توده گرانیتوییدی سرخکوه، به عنوان قدیمی‌ترین فعالیت زمین‌ساختی - ماگمایی مجموعه آتشفشانی - نفوذی خاور ایران در شمال فروافتادگی داشت لوت، قرار دارد. این توده متشکل از کانی‌های آلیت، کوارتز، بیوتیت، هورنبلنده، فلدسپارپاتاسیم و آپاتیت با بافت نیمه‌خوئشکل دانه‌ای، ترکیب گرانودیوریت، دیوریت و توپولیت با ماهیت متالومین تا پرآلومین و کلسیمی - قلیایی دارای تشابه ترکیبی با گرانیت‌های ایلمینیتی سری کاهیده نوع S است. کانه‌زایی چندفلزی سولفیدی - اکسیدی در منطقه با تشکیل کانه‌های هیپوژن کالکوپیریت، بورنیت، پیریت، اسفالریت، مگنتیت، هماتیت، و کانه‌های سوپرژن دیژنیت، کوولیت، کالکوسیت، ملاکیت و نئوتوصیت به همراه کانی‌های کالک‌سیلیکات و سیلیکات بدون آب (ولادستونیت، آنکریت، گارنیت آهن‌دار و پیروکسن) و آبدار (ترمولیت - اکتینولیت، کلریت و اپیدوت) با ساخت و بافت انتشاری، رگه‌ای - رگچه‌ای و در مواردی جانتشینی و اسکارنی به صورت عدسی و نوارهای گوسانی متعدد انجام گرفته است. ماده معدنی به صورت نامنظم و پراکنده با شکل‌های عدسی، صفحه‌ای و رگه‌ای با پیروی از ساختارهای زمین‌ساختی منطقه به صورت دیرزاد تشکیل شده است. دگرسانی‌های آرژیلیک، سریسیتی و لیمونیتی در مجاورت توده نفوذی و پنهانه اسکارن و دگرسانی پروپیلیتی با مجموعه کانی‌های اپیدوت، کلریت و پیریت با فاصله از توده نفوذی قابل تشخیص است. خصوصیات ژئوشیمیایی توده نفوذی سرخکوه همخوانی مناسبی با پلوتونهای مولد مس - آهن و طلا نشان می‌دهد که در آنها توده نفوذی نقش مهمی در خاستگاه تأمین فلزها دارد.

واژه‌های کلیدی: ژئوشیمی، گرانیت کاهیده (احیایی)، کانی‌سازی چندفلزی، سرخکوه، مجموعه ماگمایی خاور ایران

## مقدمه

مجموعه آتشفشانی - نفوذی خاور ایران<sup>۱</sup> واقع در شمال فروافتادگی داشت لوت، محدود به گسل‌های شمالی - جنوبی ناییندان در باخت و نهیندان در خاور، میزبان ذخایر و آثار فراوانی از کانی‌سازی‌های متنوع چندفلزی مس، سرب، روی، آنتیموان،

جیوه و طلا از نوع رگه‌ای، پورفیری و اسکارن (همبری) است. تاکنون مطالعات متعددی توسط Lotfi (1982), Jung et al. (1983) Tarkian et al. (1983)، بورنا (۱۳۶۴)، لطفی (۱۳۷۴)، ضیایی و عابدی (۱۳۸۲)، رحیمی (۱۳۸۳)، Karimpour et al., (2005) ملک‌زاده و همکاران (۱۳۸۸) و مهرابی و طالع فاضل (۱۳۹۰)

\*نویسنده مرتبط Fazel\_tale@yahoo.com

1- Epigenetic  
2- Iranian East Magmatic Assemblage

زمین‌شناسی، ۱۳۸۳) واقع شده است. فعالیت‌های معدنکاری قدیمی در منطقه، توسط آثار شدادی و حفر چاهک‌های متعدد به‌ویژه در بخش کلاهک‌های آهنه منطقه مشخص می‌شود. نخستین فعالیت‌های اکتشافی در منطقه، با هدف پیجوبی نفت در سال ۱۳۴۸ توسط شرکت ملی نفت ایران در قالب اکتشافات مقدماتی در برگه ۱:۱۰۰۰۰ جنوب سه‌چنگی و بلوك لوت انجام شده است. همچنین مطالعات ژئوشیمیایی با هدف آثاریابی مناطق نویدبخش و کانی‌سازی طی سال‌های ۱۳۸۲ تا ۱۳۸۵ توسط سازمان زمین‌شناسی کشور و سازمان صنایع و معادن استان خراسان جنوبی انجام شد، که نتایج این گزارش‌ها تاکنون منتشر نشده است. در سال‌های اخیر، شرکت معدنی ایتوک ایران اقدام به انجام بررسی‌های اکتشافات عمومی شامل حفر ترانشه، تولن، تهیه نقشه ژئوشیمیایی و برداشت‌های ژئوفیزیکی در مقیاس ۱:۵۰۰۰ کرده است (ایتوک ایران، ۱۳۸۶)، که این فعالیت‌ها در حال ادامه است.

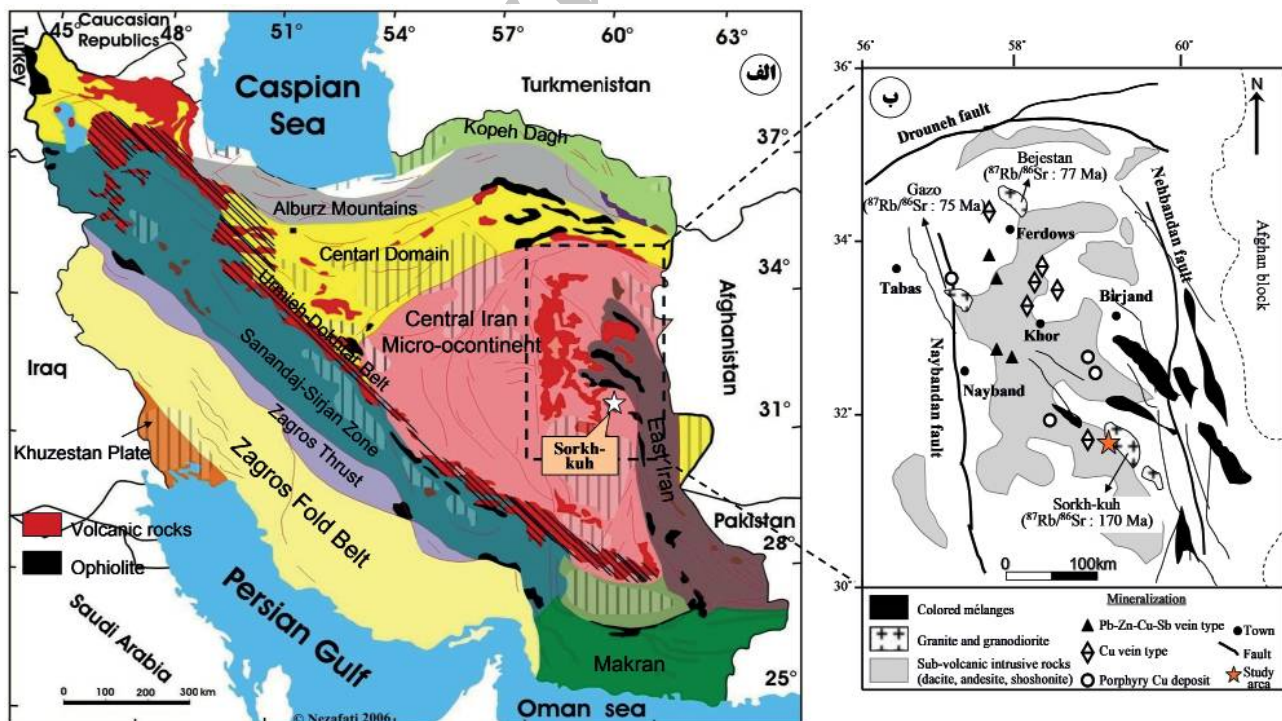
تعیین خصوصیات ژئوشیمیایی، فلززایی و ماهیت مجموعه گرانیتوییدی سرخ کوه مرتبه با کانه‌زایی چندفلزی مس - آهن  $\pm$  طلا، در کنار مجموعه شواهد سنگ‌شناسی، کانی‌شناسی و دگرسانی، از اهداف این تحقیق است که علاوه بر جنبه علمی و پژوهشی، در راستای پیشبرد عملیات پیجوبی در منطقه می‌تواند اثربخش باشد.

### روش مطالعه

پس از جمع‌آوری اطلاعات قبلی، شامل تهیه نقشه‌های

در منطقه انجام شده است. بر اساس بررسی‌های انجام شده وجود مجموعه‌ای از کانی‌سازی‌های مس پورفیری مانند ماهرآباد (ملک‌زاده و همکاران، ۱۳۸۸) و گزو (Tarkian et al., 1983) گرانوڈیوریت و گرانیتوییدهای برخوردي نوع ایلمینیتی شاهکوه (اسماعیلی، ۱۳۸۰) و بجستان (قرچی‌رودکی و همکاران، ۱۳۸۸) گرانیتوییدهای کاهنده (احیایی) نیمه‌عمیق منطقه طلادر هیرد (اشراقی و همکاران، ۱۳۸۷) و مجموعه گرانیتوییدی اکسیدی - کاهیده سرخ کوه (طالع‌فضل و همکاران، ۱۳۸۸) با سن‌های متفاوت، حاکی از وجود زون‌فروزانش و مرحله برخورد با بلوك لوت است (افتخارنژاد، ۱۳۵۲؛ امامی، ۱۳۷۹؛ Tirrul et al., 1983). محدوده خاور ایران و بلوك لوت به دلیل رخداد فروزانش و تشکیل حجم عظیمی از سنگ‌های آتش‌فشانی - نفوذی حدود است تا اسیدی، زمینه‌ساز مناسبی برای کانی‌سازی‌های مختلف به ویژه مس پورفیری (ماهرآباد ۱ و ۲، بجستان، رحیمی و چاه‌سلغمی) کانسارهای چندفلزی اپی‌ترمال نوع رگه‌ای (محدوده گله‌چاه - شوراب، سه‌چنگی، چاه‌نقره و حوض راسی) و ذخایر همیری - متماسوهای اسکارن (سنگان و سرخ کوه) است (شکل ۱).

منطقه پیجوبی سرخ کوه واقع در شمال فروافتادگی دشت لوت، در مختصات جغرافیایی  $32^{\circ}18' \text{E}$  طول خاوری و  $۳۲^{\circ}23' \text{N}$  عرض شمالی در فاصله  $70$  کیلومتری جنوب باختری شهرستان خوسف، از توابع استان خراسان جنوبی، قرار گرفته است (شکل ۱). محدوده مورد مطالعه در نقشه زمین‌شناسی ۱:۲۵۰۰۰۰ ناییندان (سازمان زمین‌شناسی، ۱۳۶۰) و ۱:۱۰۰۰۰ جنوب سه‌چنگی (سازمان



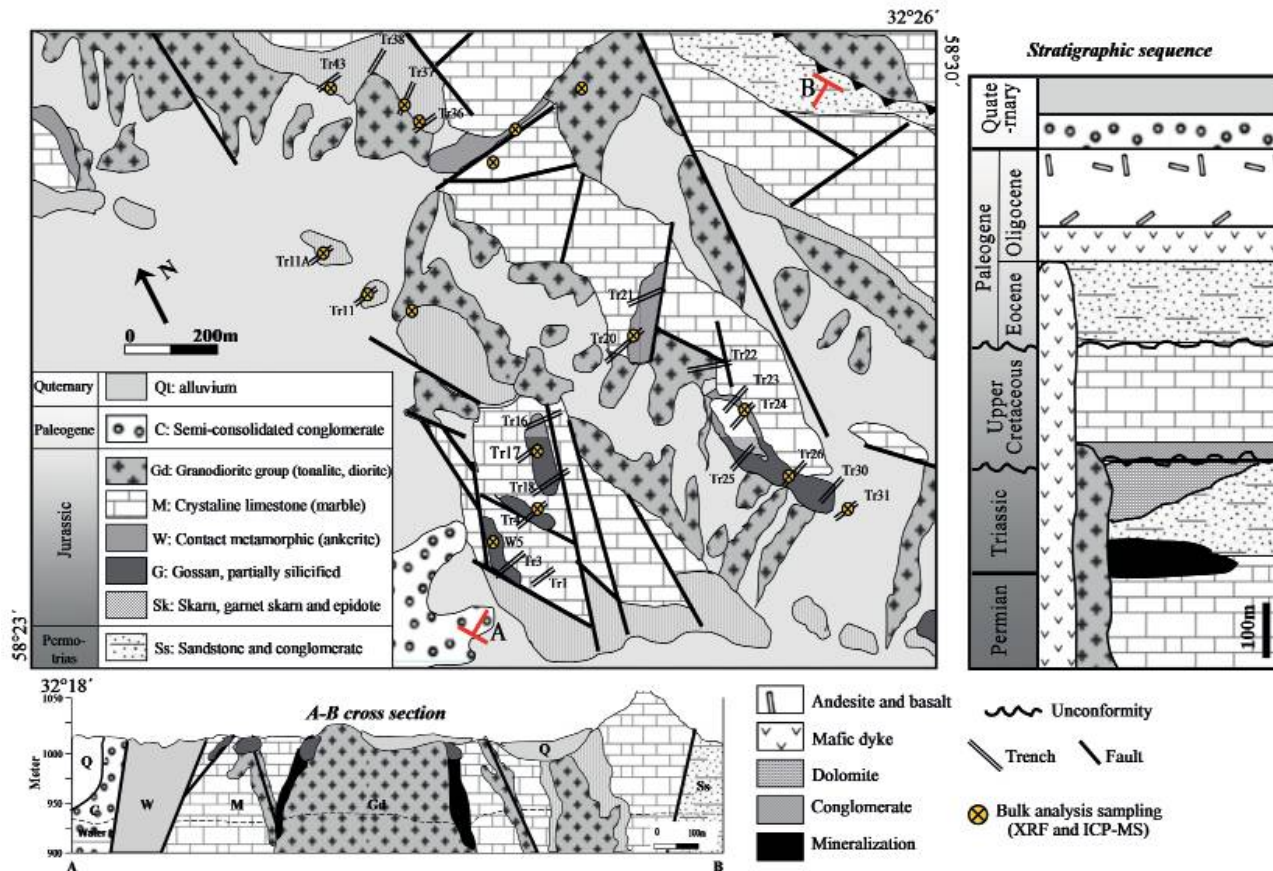
شکل ۱. (الف) موقعیت منطقه معدنی سرخ کوه در مجموعه ماغمایی خاور ایران، واقع در نقشه ساختاری ایران (با تغییرات از Alavi, 1994) و (ب) پراکندگی کانسارها و نشانه‌های معدنی چندفلزی رگه‌ای و پورفیری در کمریند آتش‌فشانی - نفوذی ناحیه مرکزی لوت (با تغییرات از Jung et al., 1983)

## زمین‌شناسی

گستره ورقه زمین‌شناسی جنوب سه‌چنگی در برگیرنده رخنمون‌های سنگی و سیعی از پرمین تا کواترنری است که در این توالی، نبودهای چینه‌نگاری بزرگی نیز وجود دارد (اشتوکلین و همکاران، ۱۳۵۲). قدیمی‌ترین سنگ‌های رخنمون یافته شامل سنگ‌آهک خاکستری تیره بایومیکرواسپاریت، مشتمل از سه بخش به ترتیب از قدیم به جدید شامل، (الف) ماسه‌سنگ کرم‌رنگ، سنگ‌های کربناته و کنگلومرا با میان لایه آهک، (ب) سنگ‌آهک توده‌ای قهوه‌ای با رگه‌های کلسیت و سیدریت و (ج) سنگ‌آهک خاکستری مایل به سبز غنی از فسیل‌های *Paleotex tularia* sp., *Vermiporella* sp., *Climacammmina* sp., پرمین (Azimi and Saidy, 1975) است (شکل ۲). سنگ‌های مزوژویک متعلق به سازند ناییند و واحد کرتاسه بالایی است که در بخش شمال خاوری ورقه، رخنمون دارند و شامل سنگ‌آهک بلوری شفاف (معروف به سنگ چینی) همراه با بلورهای بسیار درشت کلسیت (بین ۲ تا ۸ سانتی‌متر)، به صورت پرکننده فضای خالی به همراه هورنفلس‌های تیره با بافت ریزدانه و میکروریستالوپلاستیک است. واحدهای دگرگون کرتاسه در منطقه مشتمل از دو بخش شامل، (الف) شیست زیرین و (ب) فیلیت بالایی است، که سنگ‌های متاکنگلومرا شیست، میکا

توپوگرافی (۱:۲۵۰۰۰)، زمین‌شناسی (۱:۵۰۰۰) و عکس‌های هوایی منطقه (۱:۲۰۰۰۰)، محدوده مورد مطالعه در مقیاس ۱/۵۰۰۰، به وسعت تقریبی ۱۰ کیلومترمربع مورد اکتشافات چکشی و مقدماتی قرار گرفته است.

عملیات نمونه‌برداری از بخش‌های مختلف محدوده معدنی به منظور تفکیک واحدهای سنگی کانی‌ساز و فاقد کانی‌سازی، ارتباط زیشی آتشفسانی منطقه با کانه‌زایی، تفکیک واحدهای دگرسانی موثر در کانی‌سازی و دگرسانی‌های توده‌نفوذی انجام گرفت. در مجموع، ۷۰ مقطع نازک، صیقلی و نازک‌صیقلی با همکاری شرکت معدنی ایتوک ایران برای انجام مطالعات کانی‌شناسی فلزی و نافلزی و مطالعات سنگ‌شناسی تهیه و مطالعه شدند. افزون بر این، برای تکمیل آزمایش‌ها، ۱۷ نمونه از مناطق دگرسان‌شده، توده‌نفوذی و سنگ میزان، برای مطالعات XRD تهیه و ۳۴۰ نمونه از بخش‌های مختلف ذخیره شامل ترانشه، تونل و چاهک‌های اکتشافی به دو روش متريک پيوسته (هر متر يك نمونه) در مناطق با تنوع کانی‌سازی، بافت و ساخته متنوع و غيرمتريک<sup>۱</sup> در مناطق يكdest و فاقد کانه‌سازی برداشت و به روش ICP - MS (شناسایی عناصر فرعی) و XRF (برای شناسایی عناصر اکسیدی اصلی) با همکاری شرکت معدنی زرآما در آزمایشگاه Amdel استرالیا تجزیه شيمایي شدند.



شکل ۲. نقشه زمین‌شناسی ۱/۱۰۰۰ محدوده معدنی سرخ‌کوه (با تغییرات از ایتوک ایران، ۱۳۸۶) همراه با مقطع زمین‌شناسی در امتداد A - B و نمایش ستون چینه‌شناسی واقعی منطقه

مطالعات (Tarkian et al., 1983)، سن این توده با استفاده از روش Rb - Sr بر روی بیویت‌ها، در دو نمونه در گستره  $164 \pm 1/9$  و  $170 \pm 1/9$  میلیون سال بدست آمده، که متعلق به رخداد سیمیرین میانی (ژوراسیک) در ایران است. علاوه بر توده گرانیتی سرخ کوه سنگ‌های آذرین مختلفی مانند تونالیت، دیوریت و دایک‌های بازالتی فراوان با روند SW - NE و W - E، بهویژه در جنوب خاور منطقه به چشم می‌خورد که غالباً متعلق به ژوراسیک پایانی - کرتاسه هستند.

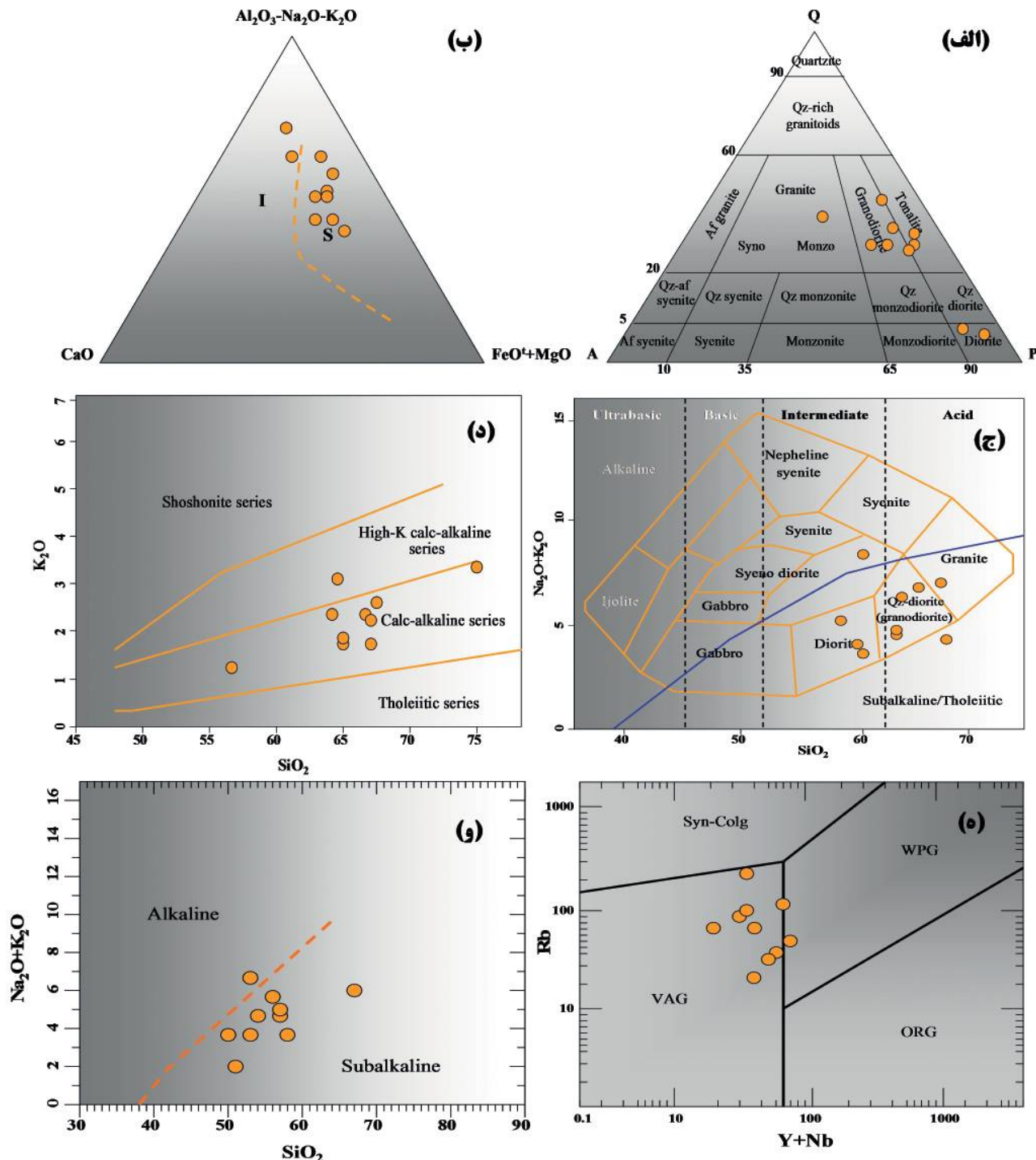
### تعیین سری ماقمایی، موقعیت زمین‌ساختی و ماهیت توده گرانیتوییدی سرخ کوه

بمنظور تعیین و تشخیص سری‌های ماقمایی در منطقه، از نتایج تجزیه شیمیایی سنگ‌های آذرین به روش‌های ICP-MS و XRF بهره گرفته شده است (جدول ۱). سری قلیایی از نیمه‌قلیایی، توسط نمودار  $\text{SiO}_2$ - $\text{Na}_2\text{O} + \text{K}_2\text{O}$  در برابر (Irvine and Baragar, 1971) قابل تفکیک است، که بر اساس این نمودار سنگ‌ها در محدوده نیمه‌قلیایی قرار می‌گیرند (شکل ۳). همچنین بر اساس نمودار  $\text{K}_2\text{O}/\text{SiO}_2$  توسط Peccerillo and Taylor (1976) سنگ‌ها متعلق به سری کلسیمی - قلیایی تا کلسیمی - قلیایی غنی از پتاسیم بوده که بر اساس Gill (2010) این سری‌های کلسیمی - قلیایی متعلق به مناطق فرورانش هستند (شکل ۳). موقعیت توده گرانیتوییدی سرخ کوه در نمودار Pearce et al., (1973)، با استفاده از عنصر Rb, Y, Nb, شناسان از ارتباط این توده با کربندهای مناطق فرورانش دارد (شکل ۳). مطالعات انجام شده بر روی گرانیت سرخ کوه در ارتباط با ماهیت ژئوشیمیایی آن، شواهدی از هر دو نوع گرانیت S و I را ارائه می‌کند (سامانی، ۱۳۸۸؛ طالع فاضل و همکاران، ۱۳۸۸)، که شواهد بدست آمده در این پژوهش نیز تأییدی بر وجود هر دو نوع گرانیت S و I در منطقه است. مقادیر پایین  $\text{Na}_2\text{O}$  (میانگین  $3,27$  درصد)، شاخص مولار  $\text{CaO}/(\text{Na}_2\text{O} + \text{K}_2\text{O} + \text{CaO}) \geq 1.0$  و  $\text{Al}_2\text{O}_3/\text{Na}_2\text{O}$  و ماهیت نزدیک به پرآلومین، نشان از شباهت ترکیبی این گرانیت‌ها با گرانیت‌های ایلمنیتی سری کاهیده نوع S است (جدول ۱ و شکل ۳). همچنین نسبت پایین ( $^{87}\text{Sr}/^{86}\text{Sr} < 0.707$ )، حضور هورنبلند فراوان، عدم تشکیل کانی‌های دگرگونی و وجود دایک‌های بازالتی متعدد، میین شواهدی از هر دو نوع گرانیت S و I در منطقه است. افرون بر این، نمودار عنکبوتی گرانیتویید سرخ کوه نسبت به ترکیب بازالت‌های مناطق بازشونده میان اقیانوسی عادی<sup>۱</sup> و پوسته قاره‌ای<sup>۲</sup> بر اساس Pearce and Cann (1973) بدست آمده، که بر این اساس مقادیر Sc, Ti, Nb دارای بی‌هنگاری منفی و عنصر Th, Ce, Ba, Sr و غنی‌شدگی نشان می‌دهند (شکل ۵). این خصوصیات متعلق به ماقماهای کلسیمی - قلیایی محیط‌های Zmien-Sاختی فرورانش حاشیه قاره است (Mpodozis and Ra-, mos, 2002).

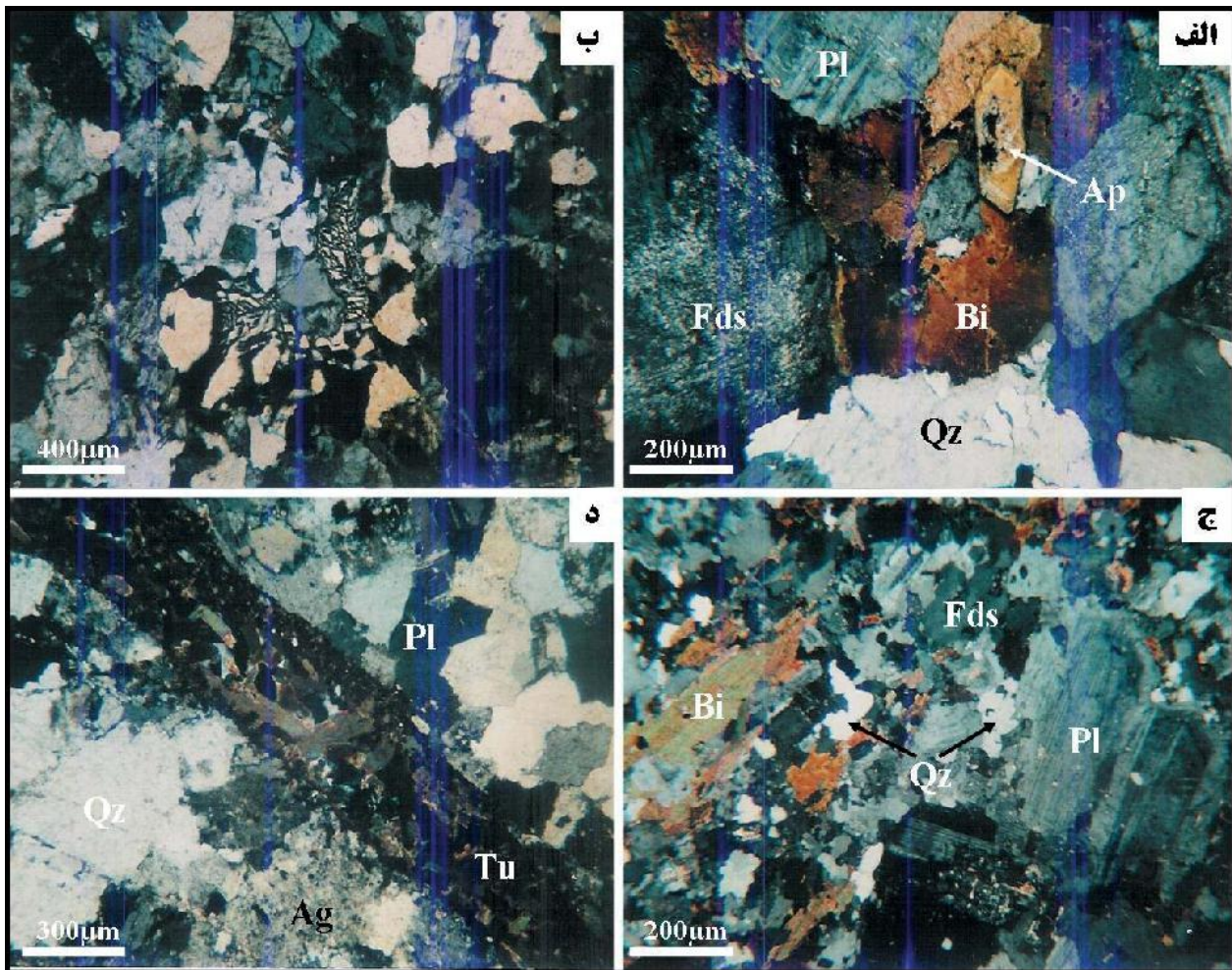
شیست، کردیریت و آندالوزیت - استارولیت شیست با بافت فنوبلاستی متعلق به بخش زیرین و سنگ‌های دگرگونه ضعیف فیلیت همراه با مقادیری رادیولاریت سرخ رنگ، ماسه‌سنگ و سیلت‌سنگ و واحدهای آتشفسانی دگرگونشده، متعلق به بخش بالایی است. در آغاز سنوزویک، رسوب گذاری آواری و کربناته همراه با فعالیت‌های آذرآواری در منطقه گسترش یافته، به گونه‌ای که در اؤسن، نخستین فعالیت‌های آتشفسانی ناحیه متشکل از سنگ‌های نیمه‌نفوذی هورنبلند آندزیت پورفیری، توف، توف بلورین خردمندگی و به مقدار کمتر تراکی آندزیت در جنوب خاوری ورقه رخ داده است (Tarkian et al., 1983). چرخه دوم فعالیت‌های ماقمایی که قاعده سنگ‌های آتشفسانی اؤسن - الیگوسن منطقه را می‌سازد، به طور عمده از لاتیت آندزیت، کوارتز لاتیت و سنگ‌های آذرآواری توف بلورین خردمندگی با ترکیب ریوداسیتی تشکیل شده که فراوان ترین آنها در منطقه سرخ کوه واحد لاتیت آندزیت است که در نمونه دستی به رنگ خاکستری روشن تا تیره شامل پلاتزیوکلاز (اویلیکوکلاز)، فلدسپار پتاسیم، بیویت و کلینوپیروکسن (اوژیت) با بافت پورفیری و درشت بلورهای کمتر از ۴ میلی‌متر است. جوان ترین واحد آتشفسانی منطقه به سن الیگوسن، متشکل از سنگ‌های قهقهه‌ای تا سیاه آندزی بازالت و بازالت با بافت پورفیری است که دارای درشت بلورهای کلینوپیروکسن (اوژیت) و پلاتزیوکلاز (لابرادر) با اندازه زیر ۳ میلی‌متر و زمینه میکرولیتی - ایترس‌تال است.

### ویژگی‌های توده‌نفوذی سرخ کوه

توده نفوذی سرخ کوه در لوت مرکزی، نشانگر کهن‌ترین فعالیت ماقمایی منطقه است (Tarkian et al., 1983). توده گرانیتوییدی سرخ کوه در گسترهای به طول ۲ کیلومتر در همیری با سنگ‌آهک پرمین، موجب تشکیل هاله همیری با جنس مرمر، آنکریت و اسکارن شده است. در نمودار LeMaitre (1989) این توده در محدوده سنگ‌های گرانیت، کوارتزدیوریت، تونالیت و گرانودیوریت قرار می‌گیرد (شکل ۳ الف). همچنین با استفاده از نمودار Cox et al., (1979)، سنگ‌ها در محدوده گرانیت، گرانودیوریت و دیوریت با ماهیت حدواسط تا اسیدی واقع می‌شوند (شکل ۳ ج). ترکیب کانی‌شناسی توده، متشکل از پلاتزیوکلاز (آلیت)، کوارتز، بیویت و هورنبلند به عنوان کانی‌های اصلی و فلدسپار پتاسیم (ارتوكلاز و میکروکلین)، آپاتیت، و کانه‌های اوپاک به عنوان کانی‌های فرعی با بافت نیمه‌خودشکل دانه‌ای است (شکل ۴ الف). واکنش سیالات گرمابی موجب دگرسانی ارتوكلاز به کائولینیت، آلیت به سریسیت و تبدیل آمفیبول به بیویت، کلریت و مگنتیت شده است که در اغلب بخش‌های منطقه و توده نفوذی قابل تشخیص است (شکل ۴ ج). دگرسانی‌های آرژیلیک (کائولینیت)، سریسیت، بیویتیت و پروپیلیتی (حضور اپیدوت، کلریت و آنکریت) مهم‌ترین دگرسانی‌های مرتبط با توده نفوذی هستند که توسط رگه و رگچه‌های تورمالین قطع شده‌اند (شکل ۴ د). بر اساس



شکل ۳. نمودار سنگ‌شناسی سنگ‌های آذرین منطقه سرخ کوه شامل، (الف) موقعیت نمونه‌ها در محدوده سنگ‌های گرانیت، دیوریت، تونالیت و گرانودیبوریت (LeMaitre, 1989)، (ب) تفکیک گرانیت‌های نوع I و S و موقعیت نمونه‌های گرانیت سرخ کوه در حوضه گرانیت کاهیده نوع S (Chappell and White, 1974)، (ج) ماهیت حدوداً سطحی سنگ‌ها متعلق به سری کلسیمی - قلیایی تا کلسیمی - قلیایی غنی از پتاسیم (Peccerillo et al., 1979)، (د) موقعیت سنگ‌ها با کمرندهای زون فرورانش و همزمان با برخورد (Cox et al., 1979)، (ه) تفکیک سری قلیایی از نیمه‌قلیایی در نمودار Irvine and Baragar (1971) و موقعیت سنگ‌ها در محدوده نیمه‌قلیایی (Pearce et al., 1973) (and Taylor, 1976).



شکل ۴. تصاویر میکروسکوپی سنگنگاری از بخش‌های مختلف گرانیت سرخ کوه شامل، (الف) بافت دانه‌ای در بیوتیت گرانیت، منشکل از درشت بلورهای نیمه‌شكل دار پلازیوکلاز (Pl)، فلدسپات‌قیایی (Fds) پرتیتی با دگرسانی کائوئینیتی و بلورهای بی‌شکل کوارتز با بافت بین دانه‌ای (Interstitial) (Interstitium) همراه با آپاتیت (Ap) و بیوتیت (Bi)، (ب) میکرو‌گرانیت با بافت هم‌رشدی گرانوفیری کوارتز و فلدسپات‌قیایی در دمای یوتکنیک، (ج) بافت پورفیری در بیوتیت گرانیت شامل، درشت بلورهای نیمه‌شكل دار پلازیوکلاز (Pl) دارای منطقه‌بندی به همراه فلدسپار‌قیایی (Fds)، کوارتز (Qz) و بیوتیت‌های کلریتی شده در حاشیه و (د) بافت دانه‌ای در لوکو‌گرانیت منشکل از درشت بلورهای نیمه‌شكل دار تا بی‌شکل پلازیوکلاز (Pl)، کوارتز (Qz)، موسکوویت و رگچه متقطع تورمالین (Tu) همراه با دگرسانی آرژیلیک (Ag)

متعدد، با ابعاد چند سانتی‌متر تا ۱۲۰ متر تشکیل شده است که در آن توده معدنی به صورت نامنظم و پراکنده با پیروی از ساختارهای زمین‌ساختی و گسل‌ها به صورت صفحه‌ای، عدسی، لایه‌ای و در مواردی رگه و رگچه‌ای در امتداد این ساختارها مشاهده می‌شود. در مرز گرانیت سرخ کوه با سنگ‌های آهکی متبلور پرمن، دگرگونی همبrijی از نوع اسکارن رخ داده است (شکل ۶) که به دو صورت درون و برون‌اسکارن بخش مهمی از کانه‌زایی مس – آهن بهویژه در بخش برون‌اسکارن صورت گرفته که تفکیک آنها به دلیل پیچیده بودن فعالیت‌های زمین‌ساختی – ماقمایی و راندگی‌های گستردۀ در منطقه به سادگی امکان‌پذیر نیست. تأثیرات دمایی و متاسوماتیک حاصل از نفوذ گرانیت سرخ کوه و به دنبال آن، ورود سیالات گرمابی در سنگ‌های کربناتی میزبان، سبب تبلور دوباره این سنگ‌ها و تشکیل کانی‌های ساخته اسکارن و کانسار آهن با غایی بیشتر به صورت دیزداد شده است.

### کانه‌زایی

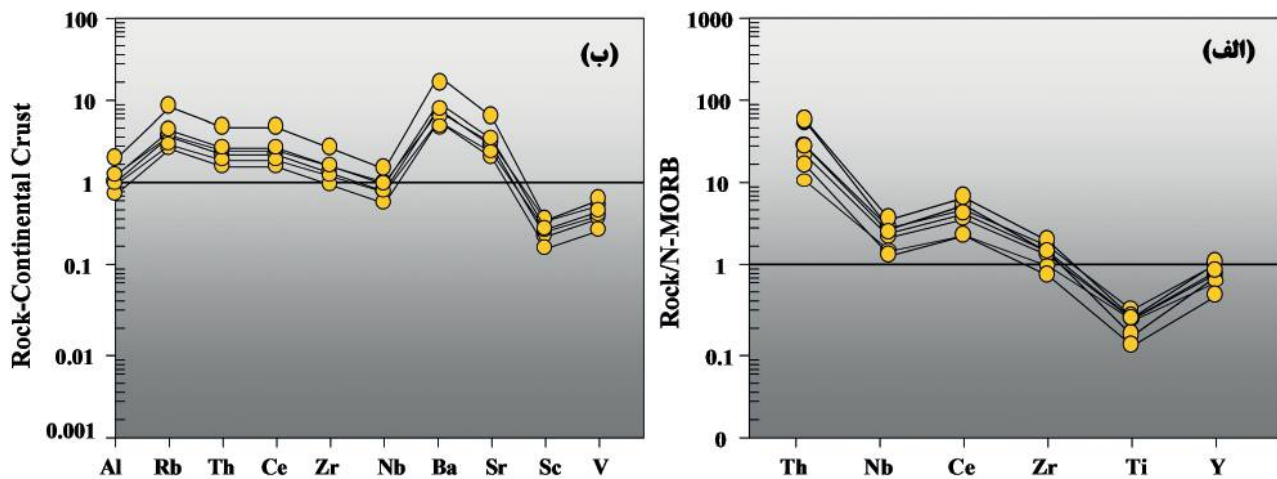
فعالیت‌های شدادی قدیمی در منطقه به صورت حفره‌های مخروطی‌شکل به قطر ۳۰ متر و عمق ۱۰ متر در محدوده حاوی کانی‌سازی سطحی به صورت کلاهک‌های آهنی و بخش‌های آبشویی شده سرخ‌رنگ، به منظور پیچویی عناصر آهن (و منگنز) و ترانشه‌ای به طول ۲۵۰ متر و عرض ۲ متر با راستای تقریبی شمالی – جنوبی، به طور عمده بر روی رگه‌های کانه‌دار به منظور استحصال مس (و قلع) انجام شده است (ایتوک ایران، ۱۳۸۶).

مطالعات صحرایی و بررسی نمونه‌های برداشت شده از محل ترانشه، چاهک و تونل‌ها، منجر به شناسایی کانه‌زایی چندفلزی سولفیدی و اکسی – هیدروکسیدی درون‌زاد و برون‌زاد مس، آهن، منگنز و بهندرت سرب و روی، قلع و تنگستن با ساخت و بافت انتشاری، رگه‌ای – رگچه‌ای و در مواردی جانشینی و اسکارنی شده است. کانه‌زایی در منطقه به صورت لنز و نوارهای گوسنی

جدول ۱. نتایج تجزیه دستگاهی XRF عناصر اکسیدی (%Wt) و ICP - MS عناصر فرعی (ppm)

| Sample No.                     | SK - 01 | SK - 02 | SK - 03* | SK - 04* | SK - 05 | SK - 06 | SK - 07* | SK - 08 | SK - 09* | SK - 10 |
|--------------------------------|---------|---------|----------|----------|---------|---------|----------|---------|----------|---------|
| Wt. %                          |         |         |          |          |         |         |          |         |          |         |
| SiO <sub>2</sub>               | 74.75   | 58.30   | 69.43    | 66.78    | 63.65   | 61.81   | 64.14    | 54.70   | 66.70    | 65.90   |
| TiO <sub>2</sub>               | 0.77    | 1.08    | 0.83     | 0.62     | 0.95    | 1.09    | 0.88     | 1.37    | 0.60     | 0.71    |
| Al <sub>2</sub> O <sub>3</sub> | 12.53   | 18.27   | 13.44    | 15.00    | 16.46   | 18.86   | 16.13    | 22.32   | 13.5     | 12.5    |
| Fe <sub>2</sub> O <sub>3</sub> | 1.10    | 2.10    | 0.49     | 0.76     | 1.07    | 0.89    | 0.70     | 0.14    | 1.60     | 0.60    |
| FeO                            | 3.37    | 6.91    | 4.66     | 3.77     | 5.68    | 5.06    | 6.07     | 5.24    | 3.50     | 4.40    |
| MnO                            | 0.09    | 0.15    | 0.04     | 0.08     | 0.16    | 0.07    | 0.09     | 0.05    | 0.10     | 0.70    |
| MgO                            | 1.13    | 3.03    | 1.67     | 2.26     | 2.87    | 1.66    | 3.26     | 2.28    | 2.10     | 3.10    |
| CaO                            | 0.34    | 2.42    | 0.70     | 2.79     | 1.72    | 0.61    | 1.34     | 0.89    | 2.50     | 2.21    |
| Na <sub>2</sub> O              | 1.41    | 2.17    | 3.86     | 3.56     | 2.10    | 1.96    | 2.22     | 2.99    | 2.90     | 3.72    |
| K <sub>2</sub> O               | 3.22    | 3.92    | 3.02     | 2.62     | 3.52    | 5.02    | 3.20     | 8.35    | 2.00     | 2.03    |
| P <sub>2</sub> O <sub>5</sub>  | 0.12    | 0.10    | 0.09     | 0.15     | 0.15    | 0.07    | 0.16     | 0.17    | 0.20     | 0.37    |
| L.O.I.                         | 1.61    | 1.45    | 1.39     | 1.09     | 2.08    | 2.66    | 1.66     | 1.82    | 4.20     | 3.83    |
| Total                          | 100.43  | 99.89   | 99.64    | 99.44    | 100.43  | 99.75   | 99.92    | 100.29  | 100.10   | 99.67   |
| ppm                            |         |         |          |          |         |         |          |         |          |         |
| Ni                             | 32      | 49      | 20       | 25       | 21      | 38      | 29       | 34      | 31       | 51      |
| Cr                             | 64      | 98      | 30       | 115      | 136     | 90      | 145      | 114     | 78       | 29      |
| Sc                             | 11      | 23      | 45       | 31       | 56      | 23      | 31       | 44      | 38       | 88      |
| Ba                             | 498     | 708     | 527      | 647      | 633     | 698     | 738      | 508     | 640      | 500     |
| Rb                             | 148     | 186     | 132      | 98       | 158     | 209     | 138      | 336     | 276      | 306     |
| Sr                             | 145     | 149     | 104      | 107      | 168     | 134     | 145      | 124     | 147      | 182     |
| Zr                             | 409     | 174     | 333      | 160      | 177     | 284     | 149      | 259     | 213      | 103     |
| Y                              | 37      | 67      | 83       | 92       | 67      | 54      | 79       | 90      | 89       | 79      |
| Nb                             | 14      | 18      | 34       | 26       | 39      | 48      | 59       | 35      | 12       | 8       |
| Ga                             | 15      | 23      | 32       | 47       | 19      | 33      | 21       | 28      | 17       | 20      |
| Co                             | 12      | 14      | 11       | 9        | 4       | 12      | 23       | 12      | 10       | 30      |
| Cs                             | 15.1    | 10.4    | 7.8      | 3.5      | 6.6     | 18.5    | 7.1      | 7.3     | 5.1      | 3.0     |
| Hf                             | 1.8     | 5.2     | 3.7      | 2.9      | 1.7     | 7.9     | 2.9      | 3.9     | 1.2      | 7.2     |
| Ta                             | 0.3     | 0.1     | 0.2      | 0.5      | 0.1     | 0.1     | 0.1      | 0.2     | 0.3      | 0.3     |
| Th                             | 9.4     | 11.3    | 2.3      | 3.7      | 1.2     | 1.0     | 3.9      | 4.8     | 8.5      | 2.5     |
| U                              | 1.2     | 3.2     | 2.8      | 1.0      | <1.0    | 2.7     | 3.9      | 2.2     | 1.0      | 1.0     |
| Zn                             | 73      | 124     | 65       | 32       | 123     | 23      | 67       | 90      | 34       | 38      |
| V                              | 67      | 112     | 45       | 123      | 231     | 98      | 59       | 87      | 122      | 102     |
| La                             | 16      | 12      | 10       | 11       | 18      | 13      | 9        | 7       | 10       | 9       |
| Pr                             | 8.1     | 9.3     | 9.2      | 7.6      | 5.8     | 8.9     | 7.7      | 12.5    | 11.0     | 10.3    |
| Nd                             | 32      | 37      | 36       | 29       | 18      | 43      | 30       | 28      | 12       | 8       |
| Sm                             | 5.6     | 6.8     | 3.8      | 5.5      | 4.8     | 2.4     | 4.3      | 6.6     | 7.2      | 6.2     |
| Cu                             | 6       | 24      | 12       | 13       | 10      | 8       | 34       | 46      | 21       | 19      |
| Eu                             | 1.50    | 1.65    | 1.10     | 0.90     | 2.30    | 1.86    | 2.22     | 0.89    | 0.56     | 0.96    |
| Gd                             | 4.23    | 5.23    | 5.57     | 3.23     | 3.45    | 4.40    | 5.56     | 5.78    | 3.32     | 3.92    |
| Tb                             | 1.1     | 0.8     | 1.2      | 0.9      | 0.8     | 0.6     | 1.3      | 2.1     | 0.23     | 1.23    |
| Dy                             | 5.23    | 4.32    | 2.23     | 1.76     | 2.34    | 5.56    | 6.78     | 6.62    | 3.32     | 3.02    |
| Ho                             | 0.78    | 0.65    | 0.66     | 0.34     | 0.31    | 1.23    | 1.11     | 0.43    | 1.34     | 2.30    |
| Er                             | 2.21    | 3.10    | 2.00     | 1.12     | 0.98    | 0.87    | 1.12     | 2.12    | 2.78     | 3.70    |
| Tm                             | 0.65    | 0.32    | 0.43     | 0.21     | 0.98    | 0.65    | 0.98     | 1.45    | 1.10     | 1.12    |
| Yb                             | 2.23    | 3.34    | 4.47     | 3.20     | 2.31    | 3.30    | 2.10     | 1.13    | 1.03     | 2.30    |
| Lu                             | 0.23    | 0.45    | 0.78     | 0.49     | 0.67    | 0.89    | 1.23     | 0.24    | 0.60     | 0.00    |

نمونه‌های کنترل شده به روش تجزیه دستگاهی AAS \*



شکل ۵. نمودار عنکبوتی گرانیتویید سرخ کوه، بهنجارشده نسبت به، (الف) ترکیب بازالت های مناطق بازشونده میان اقیانوسی و (ب) پوسته قاره ای (Pearce and Can, 1973)

۲۰ متر مشکل از سیدریت، آرگونیت، کلسیت و دولومیت در بخش های مختلف منطقه به چشم می خورد که زون اسکارنی و توده گرانیتوییدی سرخ کوه را قطع کرده و عمدتاً ناشی از  $MgO$ ,  $FeO$  و  $CaO$  توده های نفوذی دیوریتی و توپالیتی در منطقه است. دگرسانی های آرژیلیک، سریسیتی، لیمونیتی با مجموعه کانی های کائولینیت، مونتموریلونیت، موسکوویت، فلدوپارپاتاسیم، گوتیت و لیمونیت در همبrijت توده نفوذی و بخش اسکارنی با نسبت بالای تبادلات آب به سنگ<sup>۱</sup> (W/R) تا دگرسانی پروپیلیتی با مجموعه کانی های اپیدوت، کلریت، پیریت و کانی های تیره در فواصل دورتر از توده نفوذی، با کمترین میزان تبادلات آب به سنگ (W/R) در منطقه قابل تشخیص است.

در مجموع، در کانی سازی اسکارن سرخ کوه می توان دو مرحله اصلی شامل مراحل پیشرونده<sup>۲</sup> و پسرونده<sup>۳</sup> را در نظر گرفت.

### کانی شناسی، دگرسانی و توالی پاراژنری

در اثر نفوذ توده گرانیتوییدی سرخ کوه در منطقه و آزاد شدن سیالات گرمابی مس و آهن دار و واکنش آن با سنگ های میزبان در شرایط مناسب پتروفابریکی و سنگ شناختی، دگرسانی، چانشینی و کانی سازی رخ داده است. کانه های سولفیدی و اکسیدی عمدہ در منطقه شامل کالکوپیریت، بورزیت، پیریت، اسفالریت، مگنتیت، عدسی های هماتیت، هماتیت سوزنی (اسپکیولاڑیت)، دیژنیت، کوولیت، کالکوسیت، مالاکیت و نیوتونسیت به همراه کانی های قلایی - سیلیکاتی و سیلیکاتی بدون آب شامل کوارتز، ولستونیت، آنکریت، گارنٹ (آهن دار نوع آندرادیت و الماندین) و کلینوپیروکسن است که در فواصل دورتر به مجموعه کانی های آبدار آمفیبول (ترمولیت - اکینولیت، کلریت، اپیدوت، ژاروسیت، گوتیت، لیمونیت و اکسید منگنز تبدیل می شوند. افزون بر این، رگه های متعددی با ضخامت چند سانتی متر تا

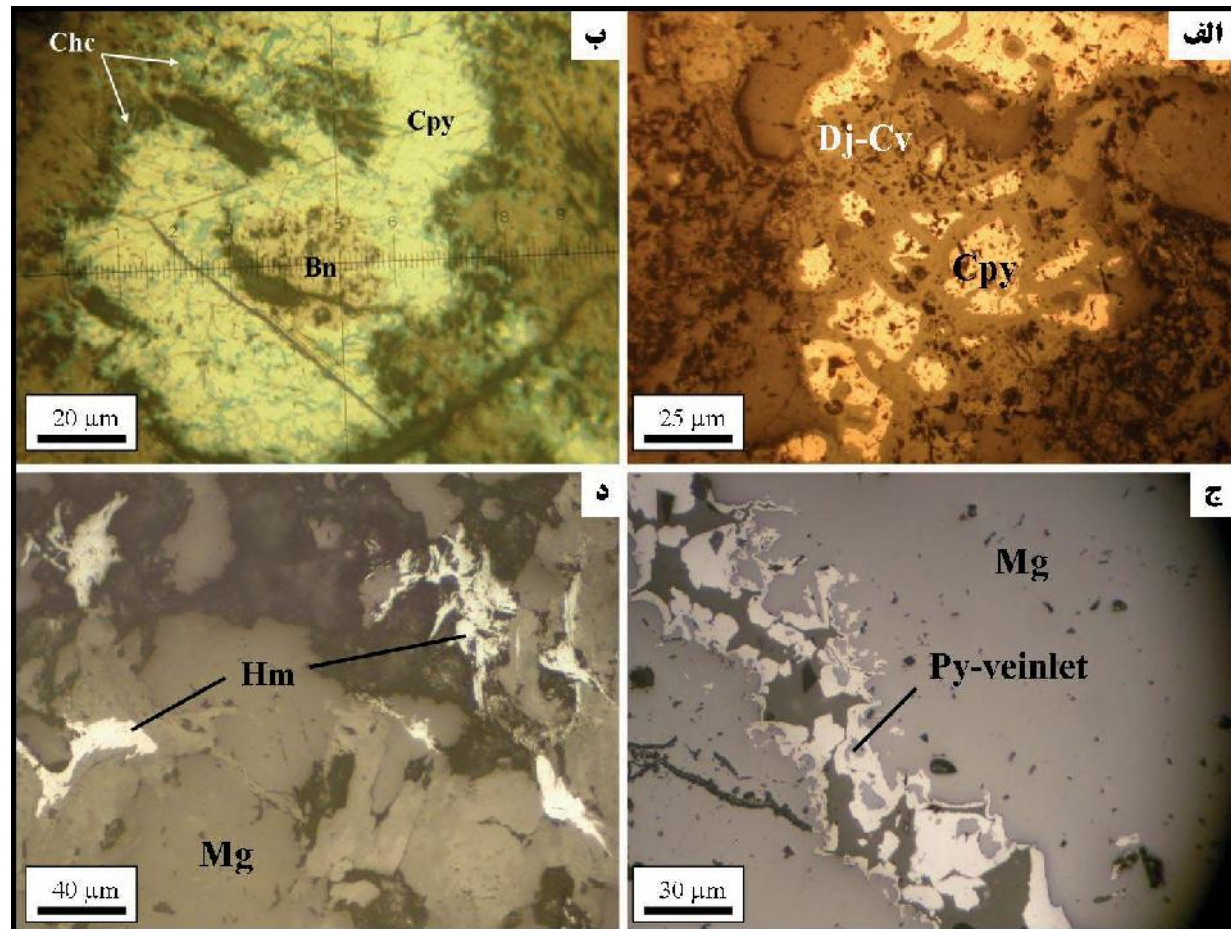


شکل ۶. (الف) نمایی از توده گرانیتوییدی سرخ کوه در تماس با سنگ آهک بلورین پرمین، (ب) شکل گیری اسکارن کلسیمی در مجاورت آپوفیز گرانیت

1- Water-rock interaction

2- Prograde

3- Retrograde



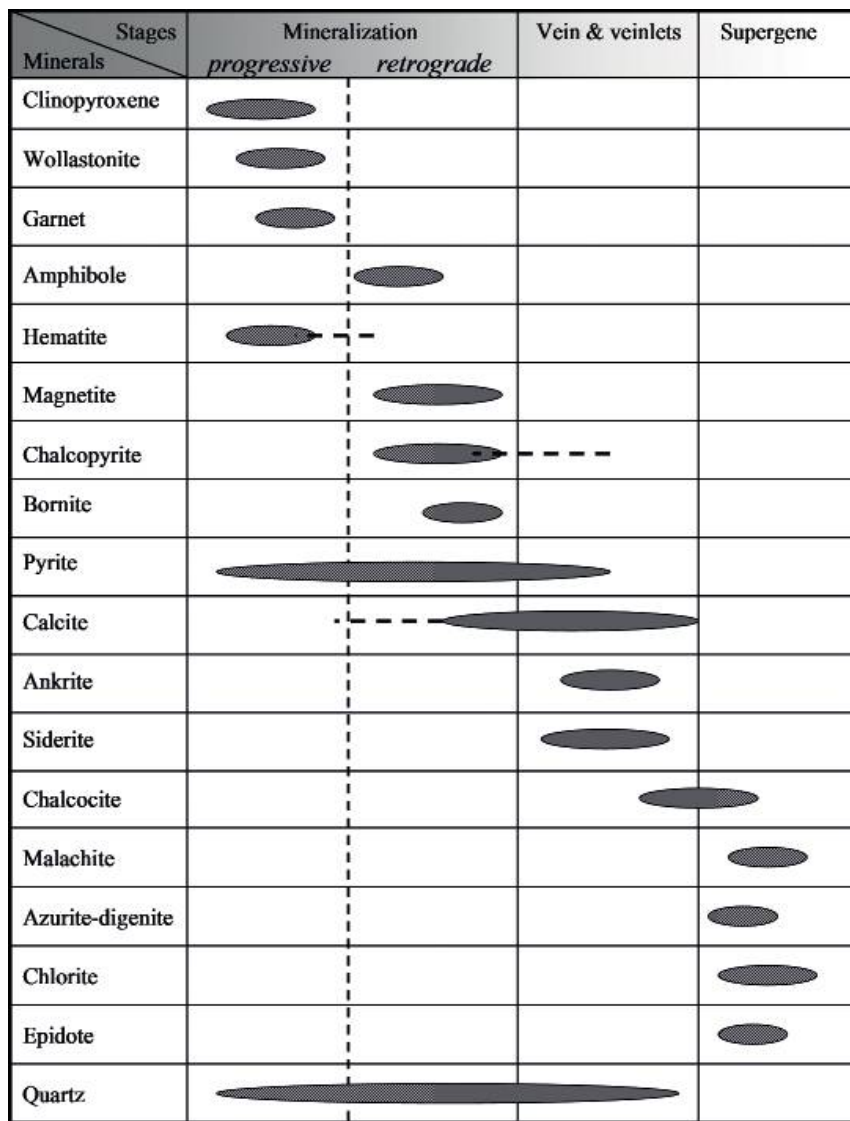
شکل ۷. تصاویر کانه‌نگاری میکروسکوپی شامل، (الف) تجزیه کالکوپیریت (Cpy) به دیژنیت و کروپیت (Dj - Cv) در حاشیه، (ب) بافت برون رانشی (اسولوشن) کالکوسیت (Chc) و کالکوپیریت (Cpy) و کانی سازی بورنیت (Bn) در مرکز کالکوپیریت، (ج) رگجه تأخیری شکافه پرکن پیریت (Py) در زمینه مگنتیت (Mg)، و (د) تیغه‌های هماتیت (Hm) همراه با مگنتیت (Mg)

تبديل به مجموعه‌ای از کانی‌های کالکسیلیکاتی آبدار و کلسیم پایین مانند اپیدوت و ترمولیت - اکتینولیت، اکسیدی (مگنتیت و هماتیت)، سولفیدی (پیریت، کالکوپیریت، بورنیت و کالکوسیت) و کربناتی (آنکریت و کلسیت) شده است (شکل ۷).

اپیدوت و مجموعه ترمولیت - اکتینولیت به ترتیب از تجزیه کانی‌های بدون آب گارنت و دیوپسید تشکیل شده که همراه با آن کانی‌های کلسیت، کوارتز و هماتیت نیز شکل گرفته است (Deer et al., 1992; Einaudi, 1982). در زیرمرحله پسین کانی‌های کالکسیلیکات آبدار و بدون آب شکل گرفته در مراحل اسکارن زایی، در نتیجه عملکرد محلول‌های دما پایین، دگرسان شده و کانی‌های ریزدانه کلریت، کلسیت، کوارتز و کانی‌های رسی از تجزیه اپیدوت و ترمولیت اکتینولیت تشکیل شده است. در مراحل پایانی تشکیل ذخیره رگه و رگچه‌های کوارتن، کلسیت، سیدریت و پیریت به صورت شکافه پرکن<sup>1</sup> و جانشینی<sup>2</sup> مجموعه کانیایی پیشین را تحت تأثیر قرار داده و در نتیجه کاهش ناگهانی فشار در شکستگی‌ها و درزهای منطقه با روندهای مختلف تشکیل شده‌اند (شکل ۸).

مرحله پیشرونده خود متشكل از دو زیرمرحله، (الف) مرحله فرعی اسکارنویید هورنفلس و مرمر؛ همزمان با جایگیری و تبلور توده نفوذی و دگرگونی ایزوشیمیایی سنگ‌های کربناتی ناخالص و تبدیل آن به مرمر و تشکیل مجموعه کانی‌های گارنت و پیروکسن، و (ب) مرحله فرعی اسکارن متاسوماتیک؛ طی پیشرفت تبلور ماقمایی و افزایش حجم سیالات گرمابی و فازهای غنی از مواد فرار با واکنش‌های کربن‌زدایی همراه بوده که منجر به کاهش حجم و تشدید شکستگی‌ها و درز و شکاف‌ها در سنگ میزبان پس از جایگیری توده نفوذی شده است (Vallance, et al., 2009). اسکارن متاسوماتیسم در این مرحله با نهشت مجموعه کانیایی کوارتز، آندرادیت، دیوپسید و ولاستونیت در دمای بالا ( $>550^{\circ}\text{C}$ ) ناشی از نسبت بالای  $\text{Fe}_2\text{O}_3$  به  $\text{SiO}_2$  (Deer et al., 1992) انجام گرفته است. مرحله پیشرونده نیز متشكل از دو زیرمرحله پیشین و پسین است که در زیرمرحله پیشین بخش اعظمی از سیلیکات‌های بدون آب غنی از کلسیم تشکیل شده از مراحل پیشین در نتیجه ورود سیالات گرمابی دما پایین همراه با عملکرد فرآیندهای آبکافت، کربن‌زدایی و سولفیدی شدن،

1- Open space-filling  
2- Replacement



شکل ۸ توالی پاراژنزی کانسار سرخ کوه

بر مبنای روش<sup>۱</sup> P.C.A استوار است که توسط آزمون KMO و Bartlett دارای اعتبار ۷۵٪ و موردن تأیید است (جدول ۳ الف). بر اساس نتایج بدست آمده از تحلیل عاملی، سه گروه عنصر به ترتیب شامل، مس - قلع - نقره (عامل ۱)، تنگستن - قلع (عامل ۲) و آهن - طلا - آرسنیک (عامل ۳) بدست آمد (جدول ۳ ب). برای بررسی همبستگی میان عناصر کانسارساز با یکدیگر از ماتریس همبستگی رتبه‌ای اسپیرمن - پیرسون با سطح اعتماد ۹۹ درصد و بالاتر استفاده شده است که نتایج آن در جدول ۴ و شکل ۹ آورده شده است.

افرون بر این، به منظور شناخت ارتباط زیشی متقابل نیز از روش آماری چند متغیره تحلیل خوش‌های استفاده شد که بر اساس این نمودار، دست‌کم سه گروه عنصر شامل، (۱) گروه مس - نقره (ضریب ۰/۷۸، ۲) گروه طلا - قلع - آرسنیک (ضریب ۰/۶۶) و (۳) گروه تنگستن - آهن (ضریب ۰/۵۵) قابل شناسایی است. بر

### ژئوشیمی

در بررسی‌های ژئوشیمیایی ۳۴۰ نمونه از مناطق کانه‌ساز و سنگ میزبان برای عناصر اصلی و فرعی به روش‌های XRF و ICP-MS مورد تجزیه قرار گرفت و برای کنترل تعدادی از عناصر در نمونه‌های منتخب به روش طیف‌سنج جذب اتمی تجزیه شدند (جدول‌های ۱ و ۲).

Thompson and Howarth (1976) دقت داده‌ها با استفاده از نمودار داده‌های ۷ عنصر طلا، مس، آهن، قلع، تنگستن، نقره و آرسنیک پردازش شدند. پس از تعیین نحوه توزیع عناصر ( غالباً لاگ‌نرمال) با استفاده از نرم‌افزار آماری SPSS، پارامترهای آماری مانند میانگین، میانه، انحراف معیار، ضریب تغییرات، ضریب همبستگی اسپیرمن - پیرسون، بررسی‌های آماری چند متغیره شامل تحلیل عاملی و خوش‌های برای عناصر مورد نظر محاسبه شد. تحلیل عاملی برای بررسی تغییرات همزمان عناصر

جدول ۲. نتایج تجزیه دستگاهی ICP - MS، عنصر معرف کانسارساز در منطقه ۹

| Sample No. | Au (ppb) | Cu (%) | Fe (%) | Sn (ppm) | W (ppm) | Pb (ppm) | Ag (ppm) | As (ppm) | Zn (ppm) |
|------------|----------|--------|--------|----------|---------|----------|----------|----------|----------|
| Sk - tr14  | 45       | 0.03   | 18.55  | 34       | 13.0    | 14.5     | 1.63     | 1050     | 134      |
| Sk - tr16  | 12       | 0.31   | 50.36  | 0        | 12.9    | 21.8     | 0.78     | 890      | 213      |
| Sk - tr35  | 51       | 0.02   | 8.50   | 0        | 0.5     | 123.0    | 2.78     | 874      | 246      |
| Sk - tr01  | 128      | 0.08   | 15.72  | 20       | 1.3     | 23.8     | 3.21     | 570      | 567      |
| Sk - tr10  | 466      | 0.03   | 21.85  | 22       | 43.0    | 127.0    | 1.24     | 785      | 751      |
| Sk - tr11  | 3        | 0.03   | 56.00  | 41       | 5.9     | 32.9     | 0.43     | 895      | 123      |
| Sk - tr12  | 2        | 0.48   | 38.57  | 13       | 2.4     | 15.9     | 0.56     | 490      | 210      |
| Sk - tr13  | 7        | 0.47   | 47.17  | 39       | 4.3     | 345.0    | 2.41     | 321      | 24       |
| Sk - tr14  | 2        | 0      | 5.74   | 0        | 26.7    | 23.9     | 2.99     | 342      | 159      |
| Sk - tr02  | 249      | 0      | 5.53   | 49       | 14.7    | 123.0    | 1.21     | 674      | 32       |
| Sk - tr03  | 350      | 0.01   | 3.79   | 82       | 3.2     | 122.0    | 0.67     | 980      | 128      |
| Sk - tr04  | 5        | 0      | 3.74   | 6        | 0.5     | 109.0    | 0.98     | 1045     | 569      |
| Sk - tr05  | 173      | 0.06   | 53.12  | 8        | 24.5    | 119.0    | 1.21     | 1078     | 13       |
| Sk - tr06  | 46       | 3.35   | 3.34   | 182      | 2.8     | 12.9     | 1.33     | 239      | 23       |
| Sk - tr07  | 12       | 0.25   | 10.81  | 212      | 13.4    | 16.9     | 2.31     | 568      | 179      |
| Sk - tr08  | 60       | 0.37   | 23.16  | 122      | 11.2    | 19.0     | 1.90     | 894      | 548      |
| Sk - tr09  | 402      | 0.09   | 10.22  | 87       | 18.0    | 345.0    | 0.21     | 390      | 673      |
| Sk - w04   | 315      | 0.24   | 44.26  | 19       | 23.1    | 328.0    | 0.87     | 239      | 328      |
| Sk - w02   | 91       | 0.11   | 22.26  | 40       | 21.0    | 129.0    | 2.34     | 190      | 549      |
| Sk - w23   | 108      | 0.92   | 51.18  | 7        | 3.4     | 213.0    | 4.32     | 1324     | 452      |

تجزیه‌های ژئوشیمیایی انجام شده، بر روی ۱۵ نمونه از چاه شماره ۵ (شکل ۳)، بالاترین آهنگ بی‌هنجاری مربوط به بخش دگرسان و آبشویی شده گرانیت سرخ کوه و کلاهک آهنی است (شکل ۱۰). بر اساس مطالعات Oyman and Kamvong and Zaw (2009) و (2010)، ژئوشیمی پلوتونی‌های سیلیکاتی مولد ذخایر اسکارن و پورفیری، معیار بنیادی در بازشناخت متالوژنی، نوع اسکارن، فلز

اساس مطالعات Hart and Goldfarb (2005) و Carig (2005) در سامانه‌های مرتبط با توده‌های نفوذی گرانیتوییدی، عناصر قلع - تنگستن - مولیبدن - مس در بخش‌های نزدیک به مرکز سامانه<sup>۱</sup> و عناصر آرسنیک - طلا - آنتیموان - نقره در بخش‌های حاشیه‌ی سامانه<sup>۲</sup>، تمرکزهای بالایی را نشان می‌دهد که این پهنه‌بندی تا حدودی در منطقه سرخ کوه قابل مشاهده است. همچنین بر اساس

جدول ۳. نتایج تحلیل فاکتوری شامل، الف) اعتبارسنجی روش با آزمون KMO و بارتلت با میزان اعتبار ۷۵٪ و ب) سه گروه عنصری بدست آمده از تحلیل فاکتوری عناصر کانساز در منطقه

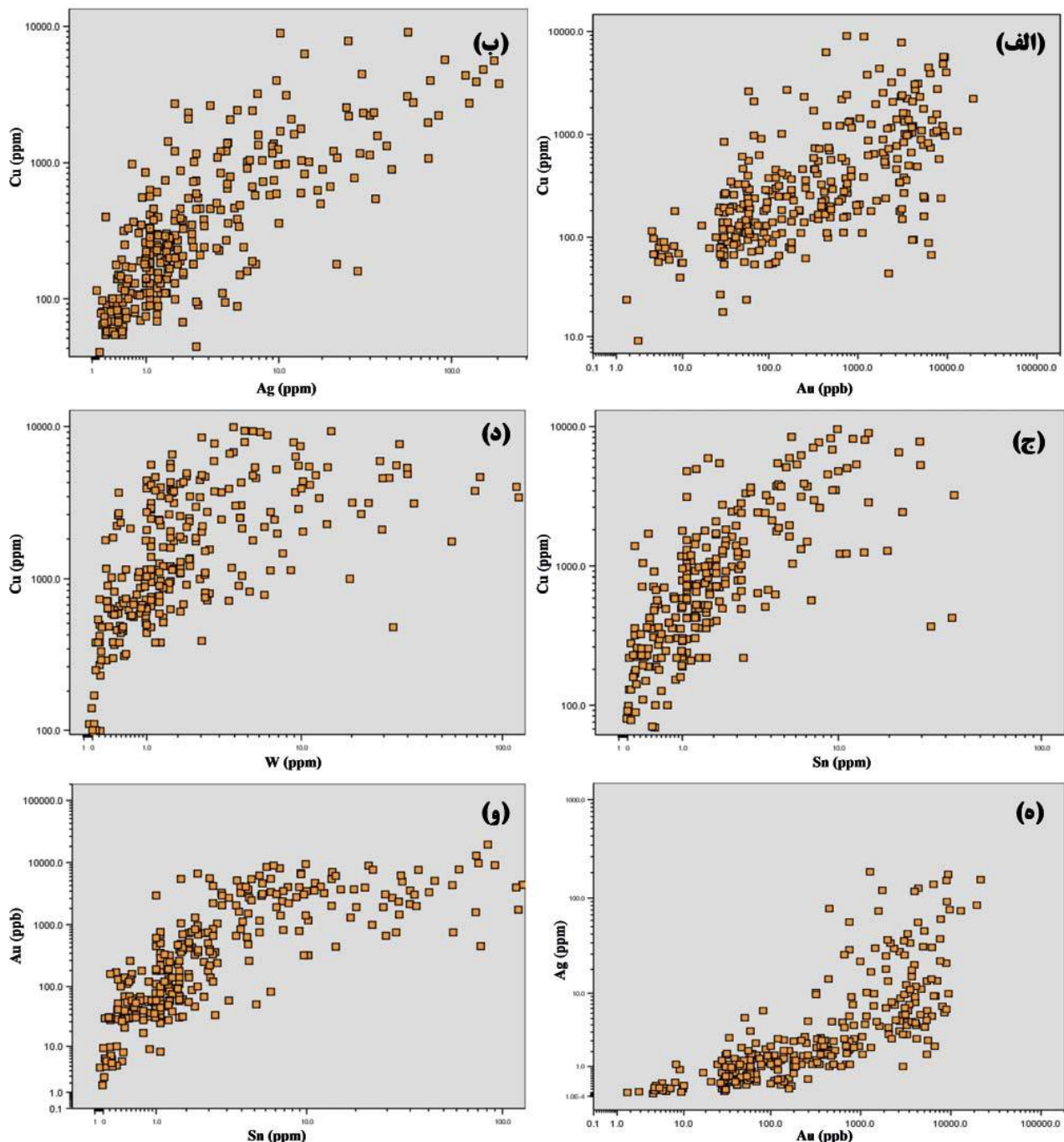
|    | Components |      |      |
|----|------------|------|------|
|    | 1          | 2    | 3    |
| Au | .483       | .218 | .357 |
| Cu | .781       | .170 | .246 |
| Fe | .240       | .195 | .846 |
| Sn | .624       | .371 | .264 |
| W  | .058       | .900 | .585 |
| Ag | .875       | .201 | .114 |
| As | .496       | .329 | .316 |

1- Proximal  
2- Productive

| KMO and Bartlett's Test                              |                      |        |
|--|----------------------|--------|
| Kaiser - Meyer - Olkin Measure of Sampling Adequacy. |                      | .759   |
| Bartlett's Test of Sphericity                        | Approx. Chi - Square | 30.072 |
|  | df                   | 21     |
|  | Sig.                 | .091   |

اسکارن متناظر با ترکیب شیمیایی خاصی از توده‌نفوذی است. ویژگی‌های توده گرانیتوییدی سرخ کوه از نظر اکسیدهای اصلی مانند  $\text{CaO}$ ,  $\text{K}_2\text{O}$ ,  $\text{Al}_2\text{O}_3$ ,  $\text{Na}_2\text{O}$ ,  $\text{SiO}_2$ ,  $\text{MgO}$ ,  $\text{FeO}$  بررسی قرار گرفته و همخوانی مناسبی با توده‌های نفوذی مولد اسکارن مس - آهن و طلا نشان می‌دهد (شکل‌های ۱۱ و ۱۲) که بر این اساس، توده‌نفوذی منطقه، نقش مهمی به عنوان خاستگاه ارتباط تنگاتنگی وجود دارد و بر اساس این پژوهش‌ها هر نوع  $\text{SiO}_2$  در نمودار  $\text{Na}_2\text{O}+\text{K}_2\text{O}$  در برابر

همراه، تمایز میان اسکارن مولد<sup>۱</sup> از عقیم<sup>۲</sup> و محیط زمین‌ساختی ذخیره است که با استفاده از بررسی رفتار عناصر اصلی و کمیاب، Newberry et al., (1990) انجام می‌شود. بر اساس مطالعات Meinert et al., (1995) و Meinert et al., (1990) توده‌های نفوذی نقش بسزایی در تشکیل اسکارن و تأمین مواد معدنی دارند، به گونه‌ای که بین کانسارهای اسکارن و توده‌های نفوذی همراه، ارتباط تنگاتنگی وجود دارد و بر اساس این پژوهش‌ها هر نوع



شکل ۹. نمودار همبستگی دوتایی عناصر کانسارساز شامل، (الف) مس - نقره، (ب) مس - طلا، (ج) مس - قلع، (د) مس - تندگستان، (ه) نقره - طلا، (و) طلا - قلع

1- Distal  
2- Barren

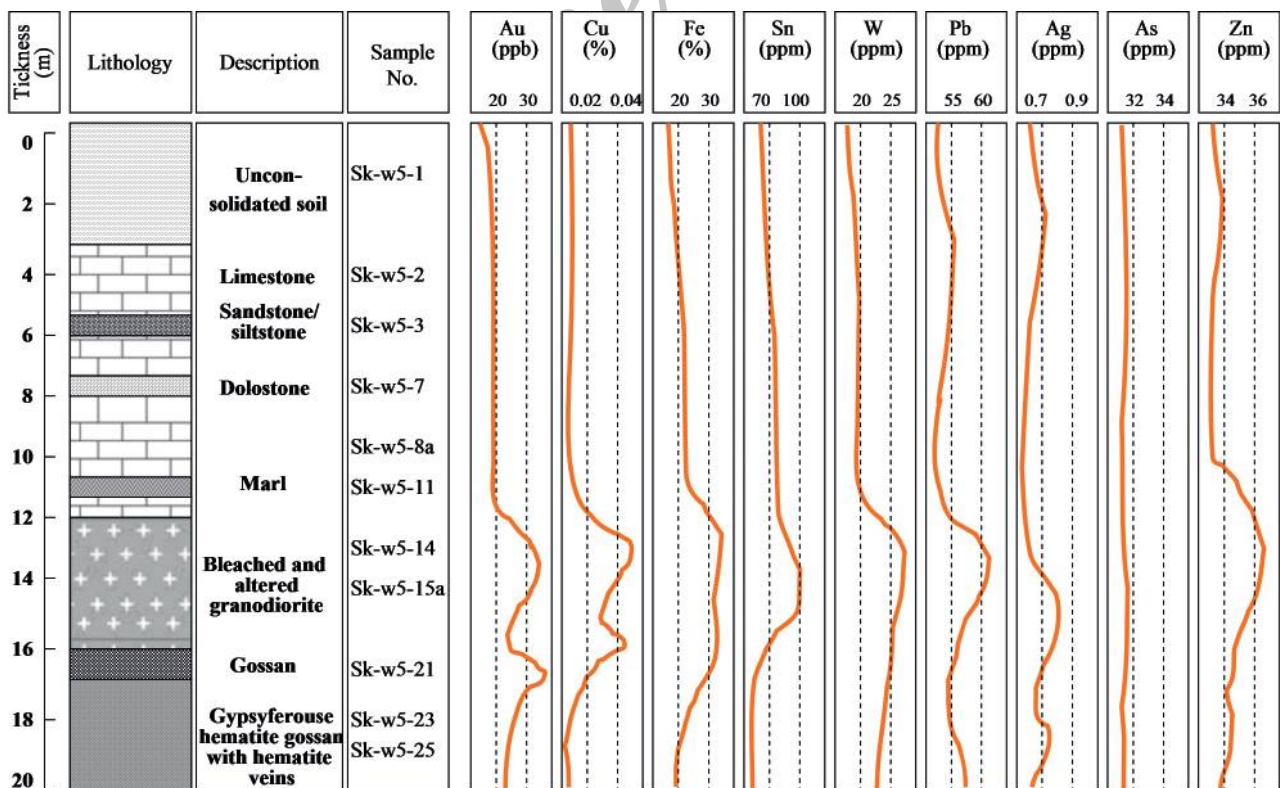
جدول ۴. ضرایب همیستگی رتبه‌ای اسپیرمن - پیرسون برای ۷ عنصر معرف کانه‌ساز در منطقه

|    | Au    | Cu    | Fe    | Sn    | W     | Ag    | As    |
|----|-------|-------|-------|-------|-------|-------|-------|
| Au | 1.000 |       |       |       |       |       |       |
| Cu | .708  | 1.000 |       |       |       |       |       |
| Fe | .021  | .778  | 1.000 |       |       |       |       |
| Sn | .373  | .322  | .538  | 1.000 |       |       |       |
| W  | .081  | .063  | .610  | .789  | 1.000 |       |       |
| Ag | .600  | .685  | .498  | .343  | .173  | 1.000 |       |
| As | .075  | .149  | .020  | .256  | .110  | .391  | 1.000 |

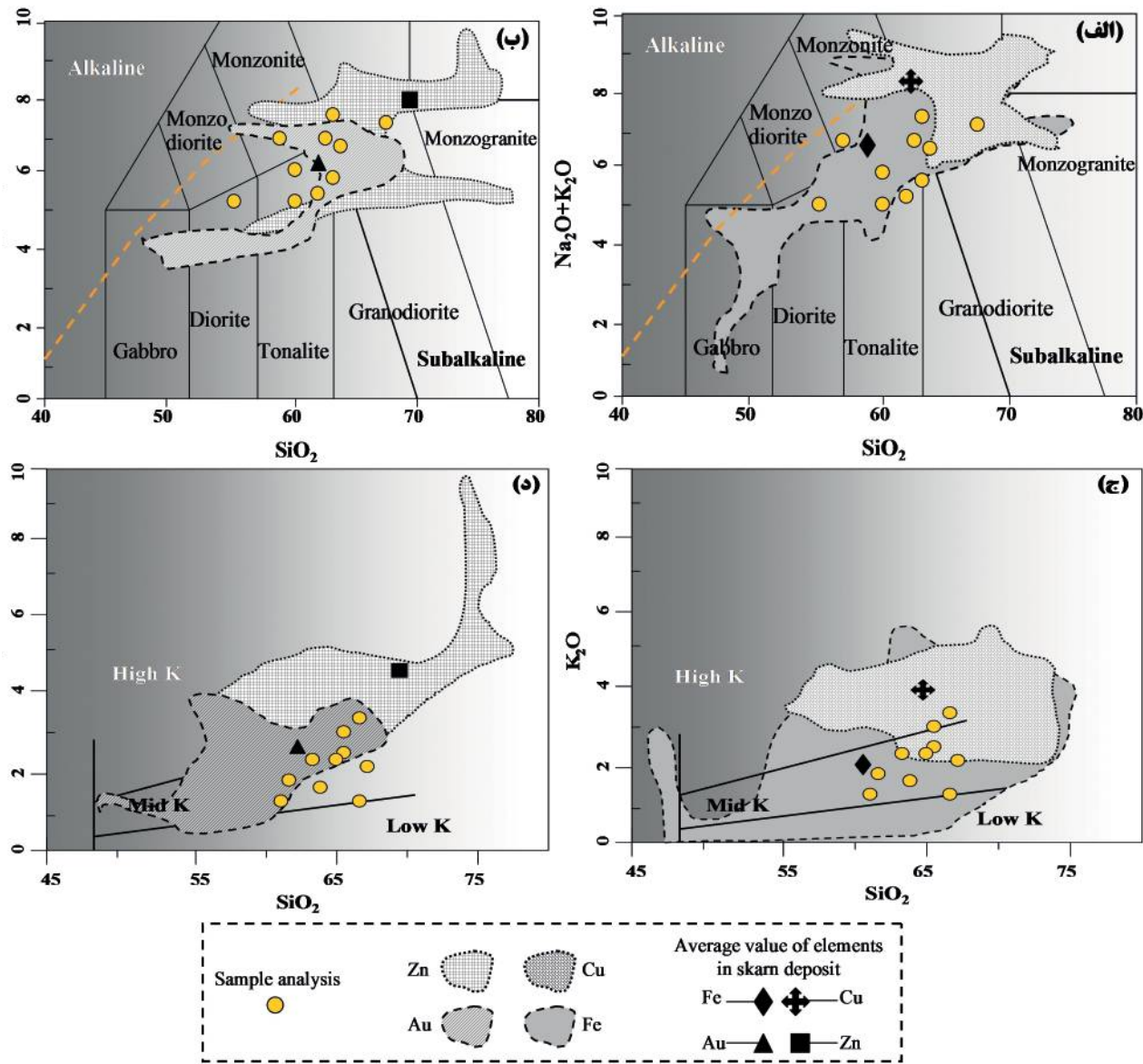
اساس نمودار (Irvine and Baragar, 1971)، نیز سنگ‌های AFM (Middlemost et al., 1994) منطقه دارای ماهیت نیمه‌قلیایی با گرایش به کلسیمی - قلیایی هستند که در محدوده اسکارن مس - آهن و طلا قرار می‌گیرند (شکل ۱۱الف و ب). به عقیده Meinert (1995) چنین خصوصیاتی در پلوتونهای اسکارن‌ساز اکسیدی - کاهیده تشکیل شده در محیط‌های زمین‌ساختی حاشیه قاره‌ای و کمان قاره‌ای رایج است. در نمودار (Maniar and Piccoli, 1989) A/CKN، دامنه تغییرات مولار نسبت  $\text{Al}_2\text{O}_3/(\text{Na}_2\text{O}+\text{K}_2\text{O}+\text{CaO})$  بین ۰/۷ تا ۱/۲ منطبق با سنگ‌های متالومین تا کمی پرآلومین است که در آن سنگ‌ها در محدوده اسکارن طلا - آهن قرار می‌گیرند (شکل ۱۲ج و د).

(Middlemost et al., 1994) سنگ‌های منطقه در محدوده گرانودیوریت، تونالیت، دیوریت و مونزونیت با ماهیت نیمه قلیایی قرار گرفته‌اند که منطبق با پلوتونهای بارور مرتبط با اسکارن مس - آهن و طلا است (شکل ۱۱الف و ب). بر اساس نمودار  $\text{SiO}_2/\text{K}_2\text{O}$  در مقابله LeMaitre (1989) سنگ‌های آذرین منطقه عمدتاً در محدوده سنگ‌های دارای پتانسیم متوسط تا کمی بالا قرار گرفته است که متعلق به اسکارن‌های مس - آهن - طلا و کمتر روی هستند (شکل ۱۱ج و د).

بر اساس (Meinert, 1995) و Pons et al., (2010) اغلب پلوتونهای اسیدی تا حد واسطه اکسیدی اسکارن‌ساز حاوی آهن و طلا در حوضه سنگ‌های متوسط تا کم‌پتانسیم قرار می‌گیرند. بر



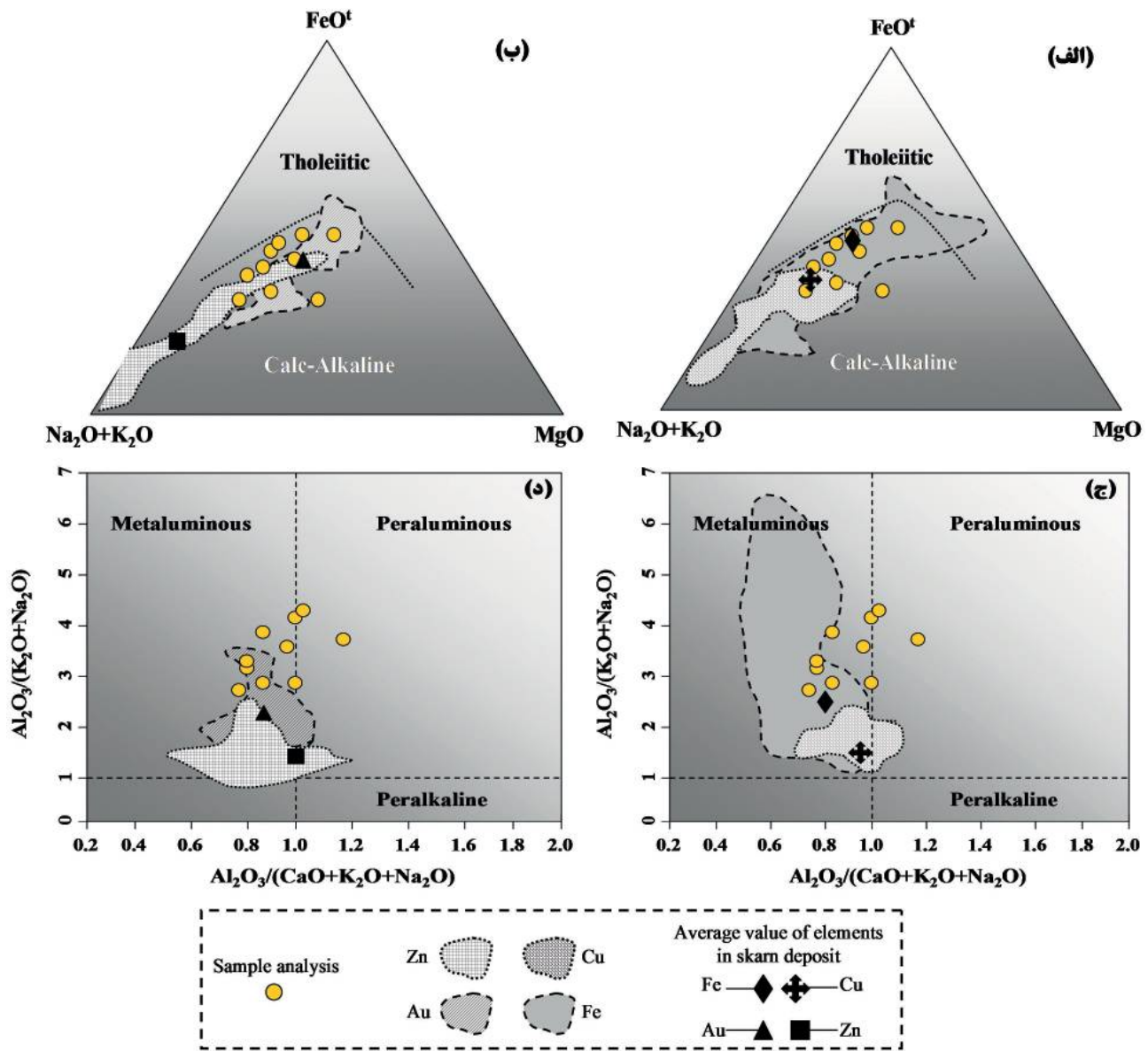
شکل ۱۰. تغییرات رئوژیمیابی عناصر کانسارساز طلا، مس، آهن، قلع، تنگستن، سرب، نقره، آرسنیک و روی در چاه شماره ۵ (W5) تا عمق ۲۰ متری در ارتباط با واحدهای سنگ مختلف



شکل ۱۱. الف و ب) سنگ‌های منطقه در محدوده گرانو-دیوریت، تونالیت، دیوریت و مونزونیت با ماهیت نیمه‌قلیابی، مرتبه با پلوتون‌های بارور مس - آهن و طلا (Middlemost et al., 1994)، ج و د) سنگ‌های منطقه در محدوده سنگ‌های پاتاسیمی متوسط تا بالا مرتبه با اسکارن‌های مس - آهن - طلا (LeMaitre, 1989)

در منطقه داشته‌اند. خصوصیات ژئوشیمیایی عناصر اکسیدی اصلی توده‌نفوذی سرخ کوه، همخوانی مناسبی با توده‌نفوذی مولده اسکارن مس - آهن و طلا در منطقه نشان می‌دهد. همچنین بر اساس خصوصیات سنگ‌شناسی، کانی‌شناسی، بافت و ساخت و دگرسانی، کانسار سرخ کوه، مشکل از گرانیت سرخ کوه به عنوان خاستگاه عناصر کانه‌ساز، پهنه اسکارن (مشکل از دو بخش درون و برون اسکارن)، کانسنگ سولفیدی - اکسیدی، رگه‌های تأخیری مشکل از کوارتز، کلسیت، سیدریت و پیریت و سنگ آهک بلورین میزبان است که در آن سیال گرمابی و توده‌نفوذی، حاصل فرآیندهای تفریق و بلور ماقماتیسم منطقه بوده که به تدریج طی فازهای مختلف به صورت بلور - مذاب، بلور - مذاب - سیال - مذاب - سیال از مگماهی والد تفریق یافته است.

**نتیجه‌گیری**  
نفوذ توده گرانیتوییدی سرخ کوه با ماهیت کلسیمی - قلیابی متوسط تا پاتاسیم بالا، مشابه با گرانیت‌های ایلمنیتی سری کاهیده نوع S به سن ژوراسیک میانی تا پسین، باعث توزیع حجم زیادی از سیالات گرمابی حاوی عناصر مس - آهن (فلز و تنگستن) در سنگ‌های کربناتی پرمن، و در پی آن ایجاد دگرگونی ایزو‌شیمیایی، متاسوماتیسم قلیابی و تشکیل هاله اسکارنی و نهشت کانسار مس - آهن سرخ کوه در منطقه شده است. در این میان گسل‌های امتداد لغز راستگرد با راستای شمال خاوری - جنوب باختری، شمالی - جنوبی و شمال باختری - جنوب خاوری نقش مهمی در مهاجرت سیال کانه‌دار از عمق به سطح پس از سردشدن توده‌نفوذی و رخداد کانه‌زایی



شکل ۱۲. (الف و ب) ماهیت کلسیمی - قلیایی سنگ‌ها در محدوده اسکارن مس - آهن و طلا در نمودار سه‌تایی (Irvine and Baragar, 1971) A/FM ( $\text{Al}_2\text{O}_3/(\text{Na}_2\text{O}+\text{K}_2\text{O}+\text{CaO})$ ) بین ۰/۷ تا ۱/۲ سنگ‌های منطقه مرتبط با پلوتونیتی با رور طلا - آهن در نمودار A/CKN (Maniar and Piccoli, 1989)

رسوی فلیش در شرق ایران و توجیه آن با تئوری تکتونیک صفحه‌ای، گزارش شماره ۲۲، سازمان زمین‌شناسی و اکتشافات معدنی کشور.  
- امامی، م. ۵. ۱۳۷۹. ماجماییسم در ایران، سازمان زمین‌شناسی و اکتشافات معدنی کشور، گزارش شماره ۷۱.  
- ایتوک ایران، ۱۳۸۶. گزارش اکتشاف عناصر پلی‌متال در محدوده سرخ‌کوه (خراسان جنوبی)، ۹۰.  
- بورنا، م. ۱۳۶۴. بررسی ژئوشیمی کانسار آتیمیوان شوراب، گزارش شماره ۱۱ سازمان زمین‌شناسی کشور، ۱۲۰.  
- ضیایی، م. و عابدی، آ. ۱۳۸۲. کانی‌سازی مس پورفیری در کمربند متالولوژی حاشیه کویر لوت، یازدهمین کنفرانس بلورشناسی و کانی‌شناسی ایران، دانشگاه یزد، ۵۹ - ۵۷.

#### منابع

- اسماعیلی، د. ۱۳۸۰. پترولولوژی و ژئوكرونولوژی توده گرانیتی شاهکوه (جنوب بیرجند)، با نگرش ویژه به کانی‌زایی قلع، رساله دکتری، دانشگاه تربیت مدرس، دانشکده علوم پایه، ۲۹۶.
- اشتولکین، ی. افتخار نژاد، ج. و هوشمندزاده، ع. ۱۳۵۲. بررسی مقدماتی زمین‌شناسی در لوت مرکزی، خاور ایران. سازمان زمین‌شناسی کشور، گزارش شماره ۲۲.  
- اشراقی، ح. راستاد، ا. امامی، م. ح. و عسگری، ع. ۱۳۸۷. کانه‌زایی طلای هیرد: نمونه‌ای از ذخایر طلای مرتبط با نفوذی‌های گرانیتوئیدی کاهیده در ایران (جنوب بیرجند)، فصلنامه علوم زمین سازمان زمین‌شناسی کشور، سال هجدهم، ۲ - ۶۹.  
- افتخار نژاد، ج. ۱۳۵۲. مطالعی چند درباره تشکیل حوضه

- granite types: Pacific Geology, 8, 173 - 174.
- Cox, K.G., Bell, J.D. and Pankhurst, R.J., 1979. The Interpretation of Igneous Rocks: George Allen and Unwin, London.
  - Deer, W.A., Howie, R.A. and Zussman, J., 1992. An Introduction to the Rock Forming Minerals. Second edition, Longman Scientific and Technical, 696.
  - Einaudi, M.T., 1982. General features and origin of skarn associated with porphyry copper plutons. Advances in Geology. Porphyry Copper Deposits: Southwest North America, 185 - 210.
  - Gill, R., 2010. Igneous Rocks and Processes: a practical guide, John Wiley and Sons Ltd, 472.
  - Hart, C.J.R. and Goldfarb, R.J., 2005. Distinguishing intrusion - related from orogenic gold systems. New Zealand Minerals Conference Proceedings, 125-133.
  - Irvine, T.N. and Baragar, W.R.A., 1971. A guide to the Chemical classification of the common volcanic rocks. Canadian Journal of Earth Science, 8, 523 - 548.
  - Jung, D., Keler, G., Khorasani, R., Marks, K., Buman, A. and Kuren, P., 1983. Petrogenesis of Tertiary magmatic activity in Northern Lut region (East Iran), Geological Survey of Iran.
  - Kamvong, T. and Zaw, Kh., 2009. The origin and evolution of skarn - forming fluids from the Phu Lon deposit, northern Loei Fold Belt, Thailand: Evidence from fluid inclusion and sulfur isotope studies. Journal of Asian Earth Sciences, 34, 624-633.
  - Karimpour, M.H., Zaw, Kh. and Huston, D.L., 2005. S - C - O isotopes, fluid inclusion microthermometry, and the genesis of ore bearing fluids at Qaleh - Zari Fe - Oxide Cu - Au - Ag mine. Journal of Sciences, Islamic Republic of Iran, 16, 153 - 168.
  - LeMaitre, R.W., 1989. A classifications of igneous rocks and glossary of terms, Blackwell Scientific Publications, 191.
  - Lotfi, M., 1982. Geological and geochemical investigation on the volcanogenic Cu - Pb - Zn - Sb ore mineralization in the Shurab - Gale chah and northwest of khur. PhD thesis, University of Hamburg, 152.
  - Maniar, P.D. and Piccoli, P.M., 1989. Tectonic discrimination of granitoids. Geological Society of America bulletin, 101, 635 - 643.
  - Meinert, L.D., Brooks, J. W. and Myers, G. L., 1990. Whole rock geochemistry and contrast among skarn -
  - رحیمی، م.، ۱۳۸۳. بررسی ژئوشیمیایی، دگرانی و زمین‌شناسی اقتصادی کانسار آنتیموان شوراب (جنوب خراسان)، پایان نامه کارشناسی ارشد، دانشگاه تربیت معلم تهران، ۲۰۰.
  - سازمان زمین‌شناسی کشور، نقشه زمین‌شناسی ۱/۲۵۰۰۰۰ ناییندان، ۱۳۶۰.
  - سازمان زمین‌شناسی کشور، نقشه زمین‌شناسی ۱/۱۰۰۰۰۰ سه‌چنگی، ۱۳۸۳.
  - سامانی، ب.، ۱۳۸۸. گزارش بازدید از محدوده اکتشافی سرخ‌کوه در منطقه خوسف - بیرجند (خراسان جنوبی)، ۱۰.
  - طالع‌فاضل، ا.، یادالله‌ی، ر.، و اقبالی، مع.، ۱۳۸۸. مطالعه کانی‌سازی پلی‌متال گرانیت سرخ‌کوه (خوسف - بیرجند) به عنوان گرانیت تیپ ۵، بیست و هفتین گردهمایی علوم‌زمین و سیزدهمین همایش انجمن زمین‌شناسی ایران، سازمان زمین‌شناسی و اکتشافات معدنی کشور.
  - قورچی‌رودکی، م.، سعادت، س.، عاشوری، ع.، ۱۳۸۸. پترولوزی، آلتراسیون و کانی‌سازی توده‌های نفوذی مناطق طاهرآباد و بجستان، مجله زمین‌شناسی اقتصادی، ۱، ۸۳ - ۱۰۰.
  - لطفی، م.، ۱۳۷۴. خلاصه‌ای بر مطالعه فاز متالوژنی پیرنه‌ای در رابطه با سنگ‌های ولکانیک، ساپولکانیک بخش شمالی پهنه لوت مرکزی، چهارمین گردهمایی علوم‌زمین.
  - ملک‌زاده شفارودی، آ.، کریم پور، م.ح.، مظاهري، ا.، ۱۳۸۸. زمین‌شناسی، دگرانی، کانی‌سازی و ژئوشیمی گستره MA - II، محدوده پیچویی مس - طلای پورفیری ماهرباد، خراسان جنوبی، مجله بلورشناسی و کانی‌شناسی ایران، ۱۷، ۶۳۹ - ۶۵۴.
  - مهرابی، ب. و طالع‌فاضل، ا.، ۱۳۹۰. بررسی نقش اختلالات ماقمایی و جوی در کانه‌زایی کانسار پلی‌متال شوراب (جنوب فردوس) با استفاده از شواهد ژئوشیمی ایزوتوپی و میکروترموتری، مجله بلورشناسی و کانی‌شناسی ایران، ۱۹، ۱۲۱ - ۱۳۰.
  - Alavi, M., 1994. Tectonics of the Zagros orogenic belt of Iran: New data and interpretations. Tectonophysics, 229, 211-238.
  - Azimi, A. and Saidy, A., 1975. Geological Map of Iran, 1:100000 series, Sheet 7655, Sehchangi, Geological survey of Iran.
  - Berberian M., Jackson J.A., Qorashi M., Khatib M.M., Priestley K., Talebian M. and Ghafuri - Ashtiani, M., 1999. The 1997 May 10 Zirkuh (Qaenat) earthquake (Mw 7.2): faulting along the Sistan suture zone of eastern Iran, Geophysical Journal International, 136, 671 - 694.
  - Carig, J.R.H., 2005. Classifying, distinguishing and exploring for intrusion - related gold system, The Gangue, 1 - 18.
  - Chappell, B.W., White, A.J.R., 1974. Two contrasting

types: in Meinert, L.D. (ed), skarn deposits in Nevada, Great Basin Symposium, Geology and ore deposits of the Great Basin, Geological Society of America, Fieldtrip 2, Guide book, 179 - 192.

- Meinert, L.D., 1995. Compositional variation of igneous rocks associated with skarn deposits, chemical evidence for genetic connection between petrogenesis and mineralization, British Columbia.

- Middlemost, E.A.K. 1994. Towards a comprehensive classification of igneous rocks and magmas, Earth, Science Reviews 31, 73 - 87.

- Mpodozis, C. and Ramos, V., 2002. The Andes of Chile and Argentina, Cordillera de los Andes geological and mining potential, the new tectonic and metallogenic approach. International Symposium, Mendoza, Argentina, 59–90.

- Newberry, R.J., Burrns, L.E., Sawmson, S.E. and Smith, T.E., 1990. Comparative petrologic evolution of the Sn and W granites of the Fairbanks - Circle area, interior Alaska: in Stein, H.J. and Hannah, J.L. (eds), Ore bearing granite systems:

- Oyman, T., 2010. Geochemistry, mineralogy and genesis of the Ayazmant Fe–Cu skarn deposit in Ayvalik, (Balikesir), Turkey. Ore Geology Reviews, 37, 175–201.

- Pearce, J.A. and Can, J.R., 1973. Tectonic setting of basic volcanic rocks determined using trace elements analysis. Earth Planetary Science, 290 - 300.

- Peccerillo, R. and Taylor S. R., 1976. Geochemistry of Eocene calc - alkaline volcanic rocks from the Kastamonu area, north Turkey, Contributions to Mineralogy and Petrology, 58, 63 - 81.

- Pons, J., Franchini, M., Meinert, L., López - Escobar, L. and Maydagán, L., 2010. Geology, petrography and geochemistry of igneous rocks related to mineralized skarns in the NW Neuquén basin, Argentina: Implications for Cordilleran skarn exploration. Ore Geology Reviews, 38, 37–58.

- Tarkian M., Lotfi, M. and Baumann, A., 1983. Tectonic, magmatism and the formation of mineral deposits in the central Lut, east Iran, Ministry of mines and metals, GSI, geodynamic project (geotraverse) in Iran, 511, 357 - 383.

- Thompson, M. and Howarth, R.J. and 1976. Duplicate analysis in geochemical practice (2 parts). Analyst. 101, 690 - 709.

- Tirrul, R., Bell, I.R., Griffis, R.J., Camp, V.E., 1983. The Sistan suture zone of eastern Iran, Geological Society of America Bulletin, 94, 134 - 156.

- Vallance, J., Fontboté, L., Chiaradia, M., Markowski, A., Schmidt, S., Vennemann, T., 2009. Magmatic - dominated fluid evolution in the Jurassic Nambija gold skarn deposits (southeastern Ecuador). Mineralium Deposita 44, 389 - 413.